

## Implementation of MLC-based techniques for kidney protection as isolated organs during radiotherapy of abdominal malignancies

Warya Parvaii<sup>1</sup> , Ghazal Mehri Kakavand<sup>2</sup> , Tahereh Hadisinia<sup>3\*</sup> 

<sup>1</sup>Medical Physics Dept, Ilam University of Medical Science, Ilam, Iran

<sup>2</sup>Dept of Anatomy and Medical Imaging, Faculty of Medical and Health Sciences, University of Auckland, Auckland, New Zealand

<sup>3</sup>Radiology Dept, School of Paramedical sciences, Guilan University of Medical Sciences, Rasht, Iran

### Article Info

#### Article type:

Research article

#### Article History:

Received: Mar. 20, 2025

Received in revised form:

Apr. 29, 2025

Accepted: May. 03, 2025

Published Online: May. 26, 2025

#### \* Correspondence to:

Tahereh Hadisinia

Radiology Dept, School of Paramedical sciences, Guilan University of Medical Sciences, Rasht, Iran

#### Email:

Sahebehs@yahoo.com

### ABSTRACT

**Introduction:** Radiotherapy is one of the therapeutic options for malignancies associated with the abdominal cavity. However, the delivered dose must be limited to the kidneys' custom shielding blocks. This study aimed to propose a method in which kidney shielding blocks can be replaced with multi-leaf collimators (MLCs).

**Materials & Methods:** In the initial phase, both kidneys were protected, and the open field area was irradiated. However, the region between each kidney and the lateral abdominal wall was inevitably shielded. Therefore, in subsequent phases, the dose to the shielded region was necessarily compensated. This process was analyzed by treatment planning and Kodak EDR2 film dosimetry. The dosimetric film results, read with MATLAB, were compared with TPS data, showing a mean difference of less than 5%, indicating acceptable agreement between the two methods.

**Results:** The MLC-based shielding method demonstrated a noticeable reduction in treatment time compared to the time required for custom block fabrication and patient setup. The use of MLCs resulted in only a 3.86% increase in MU, which was not clinically significant. The mean dose to both kidneys in the MLC and cerrobend block methods remained within the renal tolerance limits. Furthermore, the consistency of average V10, V15, and V20 data for the left and right kidneys supported the agreement between the cerrobend block and MLC methods.

**Conclusion:** MLC application to the island organ as a shield is suggested, especially in AP/PA WAR. But sufficient accuracy in field matching is needed.

**Keywords:** MLC, Cerrobend block, WAR, kidney, Dosimetry

**How to cite this paper:** Parvaii W, Mehri Kakavand Gh, Hadisinia T. Implementation of MLC-based techniques for kidney protection as isolated organs during radiotherapy of abdominal malignancies. *Journal of Ilam University of Medical Sciences*. 2025;33(2):1-12.

## Introduction

Radiotherapy remains a critical modality for the treatment of various intra-abdominal malignancies, especially in cases where complete surgical resection is not feasible or the disease has recurred (1). In abdominal cavity radiotherapy, extensive regions of the peritoneum are irradiated, inevitably exposing adjacent vital organs such as the kidneys to unintended radiation doses (2). Protecting these organs is essential because kidneys are among the most radiosensitive organs, and radiation-induced nephropathy can significantly impair patient outcomes (1-3). Traditionally, cerrobend blocks have been employed to shield the

kidneys during treatment; however, the fabrication of these blocks is time-consuming, labor-intensive, and can expose staff to toxic materials (6). Additionally, manual placement of blocks in each treatment session increases the risk of positioning errors and prolongs treatment times (1, 6). Multi-leaf collimators (MLCs) have emerged as a promising alternative, offering dynamic and precise beam-shaping capabilities without the drawbacks of physical block production (5). MLCs have been widely adopted in modern radiotherapy centers for sparing organs at risk and improving treatment workflow (6). Despite these advantages, comprehensive dosimetric comparisons



between MLCs and Cerrobend blocks in abdominal radiotherapy settings are limited. The aim of this study was to evaluate the efficacy of multi-leaf collimators (MLCs) as an alternative to cerrobend blocks in protecting the kidneys during abdominal cavity radiotherapy. This study aimed to propose a method in which kidney shielding blocks can be replaced with multi-leaf collimators (MLCs).

## Methods

The study was conducted on ten patients diagnosed with abdominal cancers at Milad Hospital, Isfahan, Iran. Treatment planning was performed using the PROWESS system for advanced radiotherapy simulation. Organs at risk, including kidneys, were contoured following RTOG guidelines and verified by an experienced radiation oncologist. The study compared conventional shielding blocks and multi-leaf collimators (MLC) in 3D conformal radiotherapy with 15 MV photon beams. In this study, treatment was performed with AP/PA fields to deliver 300 cGy to the patient's treatment area at an SAD of 100cm. Four Cerrobend blocks for kidneys (two blocks for anterior and two blocks for posterior field) were designed and constructed according to patient kidney size in block mode. For MLC mode, each of the anterior and posterior fields was divided into three steps. Firstly, the entire abdomen-pelvis minus the kidneys and two small inadvertently blocked areas was irradiated. Then, the second and third exposure fields were created to cover the area missed by the first irradiation step. Dosimetric measurements were conducted using Kodak EDR2 films, and data processing was performed in MATLAB software. The significance level was set at  $p < 0.05$ .

## Results

The dosimetric analysis demonstrated that the use of multi-leaf collimators (MLC) led to a noticeable reduction in treatment preparation time compared to conventional Cerrobend shielding blocks, which often require labor-intensive fabrication and positioning. Although the average monitor unit (MU) values increased by approximately 3.86% when using MLC, this increment was not statistically or clinically significant ( $p = 0.142$ ). A comparison between the dose distribution from TPS (Treatment Planning System) and Kodak EDR2 film measurements showed strong agreement, with a

mean difference of less than 5%, confirming the reliability of both the planning system and the MLC-based technique. Furthermore, the average dose received by the kidneys was within safe tolerance levels in both approaches, with no significant difference observed ( $p = 0.318$ ). Volume-based indicators, including V10, V15, and V20, also revealed close similarity between the two shielding methods ( $p = 0.274$ ,  $p = 0.362$ , and  $p = 0.291$ , respectively). Importantly, the MLC technique provided adequate protection of critical organs while improving workflow efficiency and minimizing human error. Overall, the findings confirmed that MLC is a viable and effective alternative to traditional Cerrobend blocks in abdominal radiotherapy, offering comparable organ protection with added logistical and clinical benefits.

## Conclusion

The findings of this study demonstrated that replacing traditional Cerrobend shielding blocks with multi-leaf collimators (MLCs) in whole abdominal radiotherapy offers both dosimetric and practical advantages. The MLC-based method not only maintained kidney dose within acceptable limits but also improved treatment preparation efficiency and reduced manual workload. Although a slight increase in monitor units (3.86%) was observed, it was clinically insignificant. These results suggest that MLCs can serve as a reliable and safer alternative for organ-at-risk protection during large-field irradiation. Future studies are recommended to assess this technique in a broader patient population and to evaluate long-term outcomes related to kidney function and overall treatment efficacy using advanced planning systems and adaptive radiotherapy.

## Authors' Contribution

Conceptualization, Investigation, Resources: TH, GMK, WP, Validation, Data Curation, Writing– Original Draft Preparation: GMK, Formal Analysis, Software: TH, WP, Writing– Review & Editing, Visualization: WP, Methodology, Supervision, Project Administration: TH.

## Ethical Statement

No human or animal subjects were used in this study, and therefore, no ethical approval was required. The authors avoided data fabrication, falsification, plagiarism, and

misconduct.

### **Conflicts of Interest**

The authors declare no conflict of interest.

### **Funding**

This research received no financial support.

### **Acknowledgment**

The authors thank the all of participants and persons who help in this project.

## محافظت از کلیه‌ها به عنوان ارگان جزیره‌ای با استفاده از کولیماتورهای چندبرگی در پرتو درمانی سرطان‌های حفره‌شکمی

وریا پروایی<sup>۱</sup>، غزل مهری کاکاووند<sup>۲</sup>، طاهره حدیثی نیا<sup>۳\*</sup>

<sup>۱</sup> گروه فیزیک پزشکی، دانشکده پردازشکی ایلام، دانشگاه علوم پزشکی ایلام، ایلام

<sup>۲</sup> گروه آناتومی و تصویربرداری پزشکی، دانشکده علوم پزشکی و بهداشت اوکلند، اوکلند، نیوزلند

<sup>۳</sup> گروه رادیولوژی، دانشکده پردازشکی شرق گیلان، دانشگاه علوم پزشکی گیلان، گیلان

### اطلاعات مقاله

نوع مقاله: پژوهشی

**مقدمه:** پرتو درمانی در سرطان‌های مرتبه با حفره‌شکمی یکی از گزینه‌های درمان است. با این حال، دوز تحویلی محدود به کلیه‌ها باید با بلوک‌های سفارشی محافظت شوند. هدف از این مطالعه پیشه‌هاد روشی است که در آن، بلوک‌های کلیه می‌توانند توسط کولیماتور چندبرگی جایگزین گردند.

**مواد و روش:** در اولین مرحله، هر دو کلیه محافظت شد و بخش باز میدان تحت تابش قرار گرفت؛ اما منطقه میان هر کلیه و دیواره جانبی شکم به طور اجتناب‌ناپذیر محافظت گردید؛ بنابراین، در مراحل بعدی، دوز دریافتی منطقه محافظت شده به طور اجتناب‌ناپذیر جبران شد. این فرایند با استفاده از برنامه‌ریزی درمان و دزیمتري فیلم Kodak EDR2 تحلیل گردید. نتایج فیلم دزیمتري خوانده شده با MATLAB با داده‌های دستگاه TPS مقایسه شد و میانگین اختلاف کمتر از ۵ درصد بود که نشان‌دهنده تطابق قابل قبول میان این دو روش است.

### نویسنده مسئول:

طاهره حدیثی نیا

گروه رادیولوژی، دانشکده

پردازشکی شرق گیلان،

دانشگاه علوم پزشکی گیلان،

گیلان

**یافته‌های پژوهش:** روش محافظت با MLC کاهش چشمگیری در زمان اختصاص داده شده به درمان، در مقایسه با زمان

ساخت بلوک سفارشی و تنظیم بیمار نشان داد. روش استفاده از MLC میزان MU را ۲/۸۶ درصد افزایش داد که چندان قابل توجه نبود. میانگین دوز در هر دو کلیه در هر دو روش MLC و بلوک سروبندی در محدوده حد تحمل کلیه بود؛ همچنین همخوانی داده‌های میانگین V10، V15 و V20 برای کلیه چپ و کلیه راست انتلاقی میان دو روش، استفاده از بلوک‌های سروبندی و شیوه استفاده از کولیماتورهای چندصفحه‌ای را تأیید کردند.

**بحث و نتیجه‌گیری:** استفاده از MLC به عنوان یک محافظت برای اندام‌های ایزوله، بهویژه در پرتو درمانی کل شکم به روش AP/PA توصیه می‌شود؛ اما دقت کافی در تطابق میدان ضروری است.

Email:  
Sahebehs@yahoo.com

**واژه‌های کلیدی:** کولیماتور چندبرگی، بلوک سروبندی، پرتو درمانی کامل شکم، کلیه، دزیمتري

**استناد:** پروایی وریا، مهری کاکاووند غزل، حدیثی نیا طاهره. محافظت از کلیه‌ها به عنوان ارگان جزیره‌ای با استفاده از کولیماتورهای چندبرگی در پرتو درمانی سرطان‌های حفره‌شکمی. مجله دانشگاه علوم پزشکی ایلام، خرداد ۱۴۰۴؛ ۳۳(۲)؛ ۱۲-۳۳.



آسیب برای کارکنان و بیماران را افزایش دهد (۵). از سویی، با توجه به تغییرات آناتومیکی اندامها از زوایای مختلف پرتودهی، گاهی نیاز به استفاده از چندین بلوک برای یک بیمار وجود دارد که این مسئله کارایی روش را کاهش می‌دهد (۷، ۸).

در مقابل، کولیماتور چندبرگی Multi-Leaf Collimator (MLC) می‌تواند جایگزین مناسبی برای این بلوک‌ها باشد. کولیماتور چندبرگی علاوه بر کاهش زمان آماده‌سازی درمان، امکان شکل‌دهی سریع‌تر میدان پرتویی را فراهم می‌کند (۸). البته MLC در مقایسه با بلوک‌های سفارشی، محدودیت‌هایی دارد. از جمله این محدودیت‌ها می‌توان به ایجاد نیم‌سایه‌های بزرگ‌تر در لبه‌های میدان به علت عرض مشخص هر تیغه اشاره کرد که ممکن است به پخش ذر ناخواسته در نواحی مجاور منجر شود؛ همچنین اثر پله‌ای (Step effect) ناشی از تغییرات تدریجی در امتداد حرکت برگ‌ها می‌تواند به ناهمگی دوز در لبه‌های میدان منجر گردد. علاوه بر این، به علت حساسیت بالای تیغه‌های MLC و احتمال تغییرات مکانیکی در طول زمان، نیاز به کنترل کیفی مداوم برای اطمینان از دقت موقعیت یابی برگ‌ها و یکنواختی دوز تحویلی وجود دارد. با وجود این، مطالعات متعددی نشان داده‌اند که توزیع دوز در MLC و بلوک‌های سفارشی تطابق بالایی دارد و استفاده از MLC در درمان‌های دقیق اجتناب‌ناپذیر است (۱۲).

بر اساس توانایی‌های بیان شده کولیماتور چندبرگی در شیلدینگ، محافظت از ارگان‌های ایزوله با استفاده از MLC امکان‌پذیر است؛ اما تطابق مرز میدان‌های بزرگ یکی از معایب این تکنیک به شمار می‌آید؛ بنابراین، هدف از این مطالعه ارزیابی امکان‌سنگی فنی و عملکرد بالینی کولیماتور چندبرگی (MLC)، به عنوان جایگزینی برای بلوک‌های محافظتی سفارشی در پرتودرمانی کل شکم و مقایسه دقت دوزیمتریک و کارایی آن با روش‌های سنتی مبتنی بر بلوک‌های سروبند است.

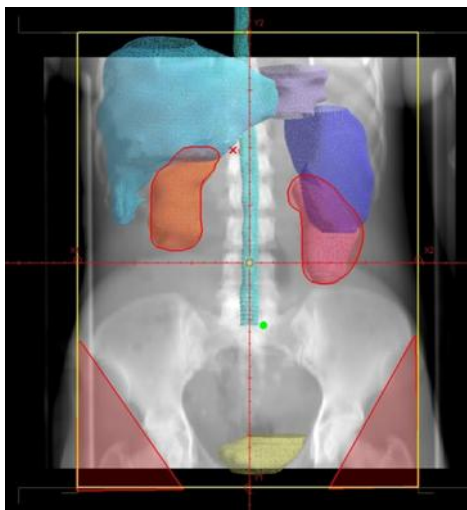
## مواد و روش‌ها

دیمار مبتلا به انواع مختلف سرطان‌های داخل حفره

## مقدمه

سرطان‌های داخل حفره شکمی، از جمله سرطان معده، کولورکمال و سارکومای صفاقی، به علت ماهیت تهاجمی و پیچیدگی درمان، چالش‌های متعددی را ایجاد می‌کنند. این سرطان‌ها اغلب به سبب گسترش در سراسر صفاق، به گزینه‌های درمانی چندوجهی از جمله جراحی، شیمی درمانی و پرتودرمانی نیاز دارند (۱). پرتودرمانی کل (WAR) Whole Abdomen Radiation Therapy یکی از روش‌های استفاده شده در برخی از این بیماران است که در آن، همه سطوح صفاقی تحت تابش قرار می‌گیرند؛ به عبارت دیگر، با وجود پیشرفت در روش‌های جراحی و درمان‌های سیستمیک، این نوع پرتودرمانی همچنان در موارد خاصی مانند بیماری‌های عود‌کننده یا پس از جراحی‌های ناقص، به عنوان یک گزینه درمانی ارزشمند مطرح است، هرچند که کاربرد آن نسبت به گذشته محدود‌تر شده است. با این حال، حداکثر دوز تجویزی (معمولًاً ۳۰ گری) به علت حساسیت بالای اندام‌های حیاتی مانند کلیه‌ها، کبد و روده‌ها محدود می‌شود. بر اساس مرجع Quantec در پرتودرمانی، کلیه‌ها باید دوز میانگین کمتر از ۱۵ تا ۱۸ گری دریافت کنند و بهتر است حجم بیش از یک سوم هر کلیه دوز بالای ۲۰ گری نگیرد. برای کبد، دوز میانگین باید کمتر از ۲۸ گری باشد و بهتر است حداقل ۷۰۰ سی سی از کبد دوزی کمتر از ۱۵ گری دریافت کند. در روده کوچک‌تر، دوز نقطه‌ای نباید از ۵۰ گری فراتر رود و حجم دریافت کننده بیشتر از ۴۵ گری بهتر است که کمتر از ۱۹۵ سی سی باشد؛ بنابراین، در میان ارگان‌های ذکر شده، کلیه‌ها حساس‌تر هستند و محافظت از آن‌ها با استفاده از بلوک‌های محافظتی سفارشی در روش پرتودرمانی کل شکم امری ضروری است (۲-۵). استفاده از بلوک‌های سفارشی (مانند سروبند Cerrobend) با وجود کارایی بالا، معایبی از جمله زمان بر بدن فرایند ساخت، نیاز به طراحی ویژه برای هر بیمار و استفاده از مواد بالقوه سمی دارد؛ همچنین این بلوک‌ها در هر جلسه درمان، باید به صورت دستی روی سینی شتاب‌دهنده خطی (Linear Accelerator Machine LINAC) نصب و جدا شوند که می‌تواند خطر

شامل دو بلوک برای نمای قدامی و دو بلوک برای نمای خلفی بود و بر اساس اندازه کلیه های بیمار تنظیم گردید. شکل شماره ۱ نمایی از میدان PA بیمار در حضور بلوک های سروبندی محافظت کلیه ها و بلوک های قسمت های تحتانی را نشان می دهد.



شکل شماره ۱. میدان PA بیمار در حضور بلوک محافظت کلیه ها

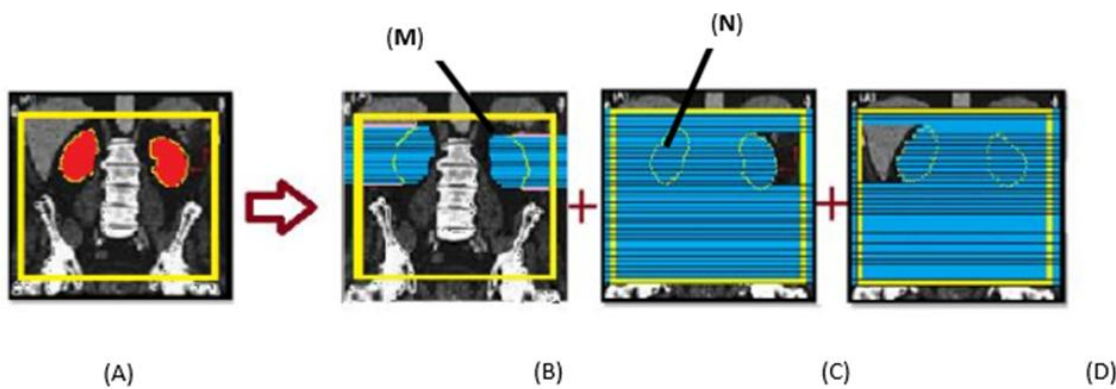
#### حافظت کلیه با MLC

برای تحويلی دوز تجویز شده پرتو درمانی 300 (cGy) به بیمار در حالت استفاده از MLC، برای میدان AP یک شیلد جزیره ای در چند مرحله با استفاده از زاویه پرتو و زاویه کولیماتور مشابه روش بلوک سروبندی طراحی شد. هر یک از میدان های قدامی و خلفی به سه مرحله تقسیم گردید. در مرحله اول، کل ناحیه شکم و لگن به جز کلیه ها و دو ناحیه کوچک که در انتهای میدان تابشی مسدود شده بودند، تحت تابش قرار گرفتند (شکل شماره ۲.B)؛ سپس میدان های تابشی دوم و سوم برای پوشش ناحیه ای ایجاد گردیدند که در مرحله اول تابش از دست رفته بود (شکل شماره ۲.C و ۲.D). دوز پرتوی میدان PA به طور مشابه تحويلی داده شد. برای تجویز دوز، برای هر زیر میدان MLC یک نقطه مرجع در صفحه میانه در نظر گرفته شد و کل درمان با استفاده از تکنیک SAD انجام گردید. شکل شماره ۲ نمایی از میدان های PA بیمار در حالت استفاده از MLC و معادل بودن حفاظت آن با حالت استفاده از بلوک سربی را نشان می دهد.

شکمی به عنوان کاندیدای پرتو درمانی در ناحیه شکم و لگن انتخاب شدند. از این بیماران در وضعیت طاق باز با دست های بالای سر بی حرکت، تصاویر سی تی (CT) با ضخامت برش ۲/۵ میلی متر به عنوان بخشی از درمان خود گرفته شد. تصاویر سی تی (CT) از طریق شبکه DICOM به دستگاه طراحی درمانی PROWESS منتقل گردید. در هر برش از تصاویر سی تی اسکن، اندام های مختلف مانند کلیه ها، کبد، معده، طحال، نخاع و مثانه تفکیک و ترسیم شدند. همه کاتورینگ های انجام شده بر اساس راهنمایی کنترلی RTOG صورت گرفت و یک متخصص انکولوژی پرتو آنها را تأیید و اصلاح نهایی کرد. در مراحل اولیه، فیزیسیت پزشکی در تعیین حدود تقریبی اندام ها همکاری داشت؛ اما بازنگری نهایی و تأیید کاتورینگ را متخصص انجام داد؛ همچنین به علت حساسیت بالا و خطر آسیب به کلیه ها در پرتو درمانی ناحیه شکم و لگن، استفاده از شیلد کلیه در برنامه ریزی درمانی ضروری بود. مارکرهای استخوانی و حجم میدان درمان در حالت های استفاده از MLC و بلوک سروبندی استفاده شدند. تعیین واحد مانیتور یونیت (MU) برای دوز 300 cGy در هر دو حالت بلوک و MLC بر اساس عامل های مربوط به اندازه میدان شامل عامل پراکندگی از کولیماتور Sc، عامل پراکندگی از فانتوم Sp و فاصله چشمی از محور چرخش گانتری SAD محاسبه گردید.

#### حافظت کلیه با بلوک

در دستگاه طراحی درمان، از میدان های قدامی-خلفی (AP) و خلفی-قدامی (PA) با وزن نامساوی استفاده شد تا کل حفره از پیش تعیین شده شکم و لگن بیمار در حالت استفاده از بلوک های سروبندی با پرتو فوتون 15 MV دستگاه شتاب دهنده Artist و در SAD=100cm تحت تابش قرار گیرد. این تابش در حضور بلوک های محافظت کلیه انجام گردید تا دوز 300 Gy به ناحیه درمان بیمار تحويلی داده شود. چهار بلوک محافظتی برای کلیه ها طراحی و ساخته شد که



شکل شماره ۲. تصویری از روش باز کردن MLC برای جایگزینی شیلد‌های سربی در ارگان‌های جزیره‌ای

حالات‌های بلوک و MLC انجام شد. ابعاد شیلد کلیه راست از اندازه متوسط کلیه‌های ۱۰ بیمار زن با داده‌های سی‌تی استخراج گردید. یک کد اختصاصی MATLAB برای ارزیابی توزیع‌های دوز دو بعدی بر اساس اندازه‌گیری‌های فیلم Kodak تابش شده نوشته شد. شکل شماره ۳ تصویری از فانتوم استفاده شده در فیلم دزیمتری را به همراه شیلد کلیه نشان می‌دهد.

### فیلم دزیمتری

برای مقایسه نتایج دزیمتری دستگاه طراحی درمانی (TPS) خود، دزیمتری عملی این تکنیک با استفاده از فیلم Eastman Kodak Company Kodak EDR2 (شرکت PTW Freiburg آمریکا) و فانتوم RW3 (محصول شرکت آلمان) به ابعاد  $25 \times 25$  سانتی‌متر مربع در عمق ۱۵ سانتی‌متر (به عنوان عمق معمولی برای کلیه‌ها در میدان AP)، برای



شکل شماره ۳. تصویر ستاپ آزمایش فیلم دزیمتری

### مانیتور یونیت

متوسط دوز تحویل داده شده به ده بیمار در حالت استفاده از بلوک و MLC، به ترتیب  $302 \pm 314$  و  $314 \pm 386$  واحد مانیتور (MU) موردنیاز بود؛ بنابراین، روش MLC میزان MU را درصد افزایش داد که چندان چشمگیر نبود.

### یافته‌های پژوهش

#### مدت زمان درمان

روش محافظت با MLC کاهش چشمگیری در زمان اختصاص داده شده به درمان در مقایسه با زمان ساخت بلوک سفارشی و تنظیم بیمار نشان داد. زمان درمان در روش استفاده از MLC، به علت نیاز به طراحی سه زیرمیدان و تنظیم دقیق لبه‌های میدان برای جلوگیری از نقاط داغ و سرد غیرقابل قبول، حدود ۱۰ دقیقه بیشتر از روش بلوک بود؛ اما کمتر بودن زمان موردنیاز برای تنظیم بیمار در این روش، این افزایش زمان تابش دهی را جبران کرد.

### پوشش دهی حجم هدف

متوسط دوز میانگین (Dmean) تحویل داده شده به ده بیمار به حفره شکمی-لگنی با حجمی معادل  $14180 \pm 2821$  سی‌سی برای بلوک و MLC به ترتیب  $2762 \pm 2821$  و سانتی‌گرمی بود.

### حفظه کلیه

V15 و V20 برای کلیه چپ و کلیه راست نیز نشان دهنده همخوانی میان این دو روش بودند. جدول شماره ۱ متوسط داده های دزیمتریک مربوط به کلیه را در روش های MLC و بلوک سفارشی نشان می دهد.

میانگین Dmean و Dmax در هر دو کلیه، با تفاوت جزئی میان روش های MLC و بلوک، در محدوده حد تحمل باقی ماندند؛ اما Dmax در روش MLC برای هر دو کلیه حدود ۶ گری بیشتر از روش بلوک بود. داده های میانگین

**جدول شماره ۱.** متوسط داده های دزیمتریک مربوط به کلیه برای مقایسه روش های MLC و بلوک سفارشی

Dmean (Gy)	Dmax (Gy)	V <sub>10</sub>	V <sub>15</sub>	V <sub>20</sub>	
۰/۵۰	۳/۳۷	۱/۹۰	۱/۶۰	۱/۲۰	کلیه راست-بلوک
۰/۶۴	۹/۴۶	۲/۴۰	۱/۷۰	۱/۲۰	MLC-کلیه راست
۰/۶۷	۴/۴۴	۲/۰۰	۱/۷۰	۱/۳۰	کلیه چپ-بلوک
۱/۱۳	۹/۶۳	۳/۱۰	۲/۸۰	۲/۵۰	MLC-کلیه چپ

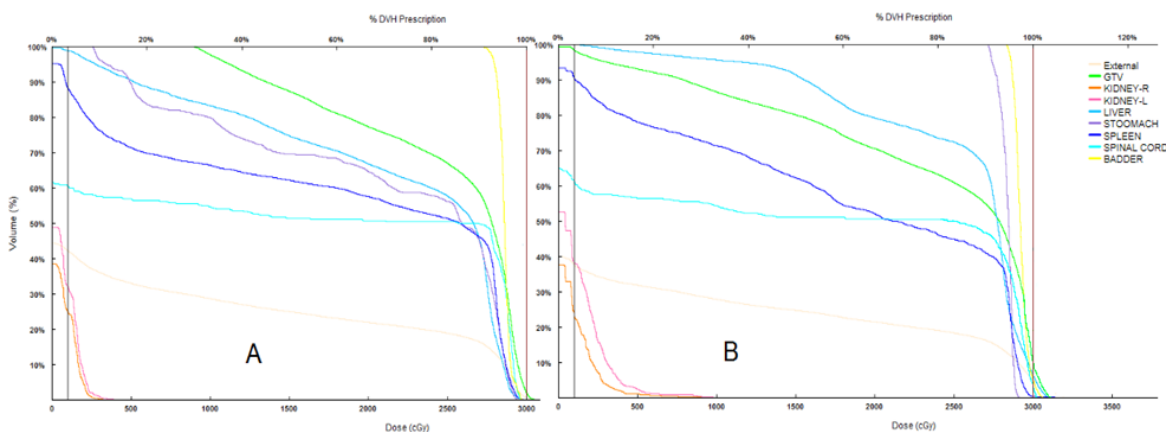
ارائه داد و حداقل دوز دریافتی آن ۲۵ گری کاهش یافت و به حدود ۲/۵۴ گری رسید. جدول شماره ۲ متوسط داده های دزیمتریک مربوط به سایر ارگان های حیاتی در معرض خطر ناحیه شکم و لگن برای روش های MLC و بلوک سفارشی را نشان می دهد. هیستوگرام های حجمی دوز مربوط به دو روش استفاده از بلوک سروبندی و MLC در شکل شماره ۴ آمده است.

### دوز رسیده به ارگان های سالم

بر اساس نتایج هیستوگرام حجمی دوز DVH برای هر دو روش، دوز دریافتی اندام های سالم در محدوده حد تحمل باقی ماند. به جز معده، معیارهای Dmin, Dmean و Dmax برای سایر اندام ها در حالت MLC و بلوک مشابه یکدیگر هستند. درباره معده، روش بلوک حفاظت بهتری

**جدول شماره ۲.** متوسط داده های دزیمتریک مربوط به سایر ارگان های حیاتی در معرض خطر ناحیه شکم و لگن برای مقایسه روش های MLC و بلوک سفارشی

Dmean (Gy)	Dmax (Gy)	Dmin (Gy)	
۲۱/۲۵	۲۹/۹۵	.	کبد-بلوک
۲۴/۸۹	۳۱/۱۱	۱/۰۷	کبد
۱۷/۹۷	۲۹/۸۹	.	طحال-بلوک
۱۸/۱۵	۳۱/۶۵	.	طحال
۱۵/۳۱	۲۹/۶۹	.	نخاع-بلوک
۱۶/۷۰	۳۱/۲۵	.	نخاع
۲۰/۵۸	۲۹/۵۰	۲/۵۴	معده-بلوک
۲۸/۳۴	۲۹/۱۵	۲۷/۱۳	معده
۲۸/۵۹	۲۹/۸۱	۲۷/۲۹	مثانه-بلوک
۲۹/۲۳	۳۰/۶۷	۲۸/۳۰	مثانه

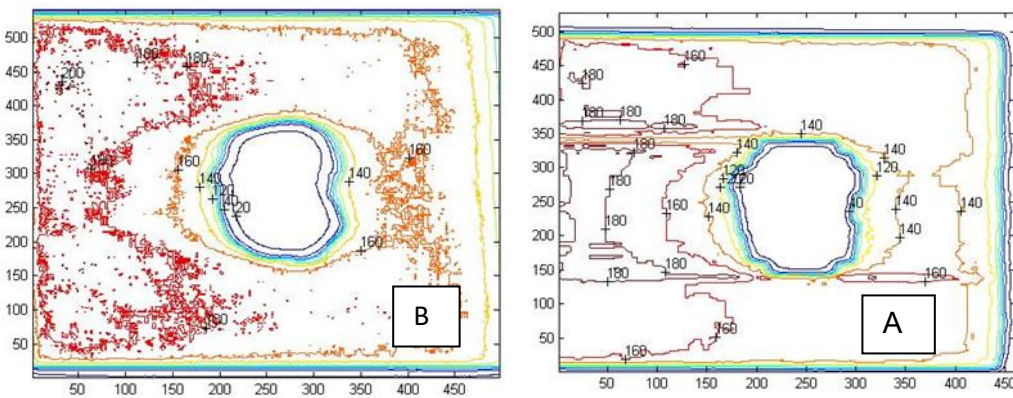


شکل شماره ۴. هیستو گرام های حجمی دوز مربوط به روش های مختلف؛ A. استفاده از بلوک سرویندی؛ B. استفاده از MLC

سازگاری این دو روش را مجدداً تأیید می کند. در روش بلوک، یکنواختی فیلم EDR2 در مرز میدان اندکی متغیر است. این ناهمگنی جزئی دوز در لبه میدان که در طراحی درمان بلوک سرویند مشاهده شد، از آثار نیم سایه است.

#### فیلم دزیمتری

شکل شماره ۵ نقشه دزیمتری فیلم EDR2 برای میدان AP را نشان می دهد که توسط کد نوشته شده در MATLAB تولید گردیده است. داده های دزیمتری عملی



شکل شماره ۵. نقشه دزیمتری Kodak EDR2 با استفاده از کد ملب؛ A. حالت بلوک؛ B. حالت MLC

که با استفاده از کد MATLAB خوانده شد، با دوز محاسبه شده توسط دستگاه برنامه ریزی درمان (TPS) مقایسه گردید. میانگین اختلاف میان مقادیر دوز اندازه گیری شده (V15, V10 و V20) برای کلیه چپ و راست در دو روش MLC و بلوک سرویندی، کمتر از ۵ درصد بود. این میزان اختلاف نشان دهنده تطابق قابل قبول میان داده های تجربی و نتایج دستگاه TPS است. برای این کار، محافظت از کلیه ها با استفاده از MLC، از طریق سه مرحله پرتو دهی متوالی در زیر میدان های طراحی شده انجام گردید. در مرحله اول، تیغه های MLC برای پوشش هر دو کلیه جابه جا شدند و بخش

#### بحث و نتیجه گیری

در پرتو درمانی سرطان های حفره شکمی و برخی بیماری های دیگر، هر دو کلیه به علت محدودیت دوز باید محافظت شوند. ساخت بلوک های سفارشی فرایندی زمان بر و دشوار است و به جز برای اندام های ایزووله، در بیشتر مراکز با MLC جایگزین شده است. این مطالعه روشنی ساده برای استفاده از MLC در محافظت از کلیه ها (به عنوان یک ارگان ایزووله) ارائه داد که همچنین برای سایر اندام های ایزووله مانند نخاع و تیروئید در تابش های AP/PA قابل کاربرد است. در این مطالعه، نتایج فیلم دزیمتری Kodak EDR2

باز میدان تحت پرتودهی قرار گرفت. در مراحل بعدی، دوز ناحیه‌ای که به طور ناگزیر میان هر کلیه و دیواره جانبی شکم محافظت شده بود، از طریق پرتودهی زیرمیدان‌ها جبران شد. همان‌طور که مشاهده گردید، در میدان‌های ساده AP/PA، نتایج دزیمتري حاصل از دستگاه طراحی درمان از نظر شیلدینگ کلیه‌ها، دوز دریافنی اندام‌های حیاتی و زمان درمان، بسیار مشابه روش بلوک سروبندی بود. هر دو روش سطح یکسانی از حفاظت کلیه‌ها را زیر حد تحمل ارائه دادند. با این حال، در حالت استفاده از MLC بالاتری برای کلیه چپ دیده شد که احتمالاً به علت تطابق نداشتن زیرمیدان چپ در MLC است. چندین مطالعه به استفاده از MLC به جای بلوک برای ارگان‌های ایزوله در پرتودرمانی پرداخته‌اند. شاراد گویال و همکارانش روش جدیدی برای بلوک ایزوله با استفاده از تکنیک جبران بافت الکترونیکی اصلاح شده (MECOMP) گزارش کردند و با استفاده از دستگاه طراحی درمان، تجزیه و تحلیل دزیمتري این روش را با تکنیک سنتی پرتودرمانی خارجی مبتنی بر بلوک Cerrobend مقایسه نمودند و مشاهده کردند که این روش می‌تواند روش جایگزینی برای استفاده از بلوک‌های سروبندی باشد (۱۳)؛ همچنین راماچاندران و همکارانش با استفاده از یک روش ساده، به راحتی میدان متل را با استفاده از MLC به جای بلوک جایگزین کردند (۱۴). در این مطالعات، یافته‌ها نشان دادند که روش‌های جایگزین بلوک‌های سروبندی از نظر نتایج دزیمتريکی، با آن همخوانی دارند که کاملاً با یافته‌های این پژوهش انتلاق داشت.

**پوشش دوز (GTV) و دوز**  
اندام‌های در معرض خطر در روش بلوک با حالت MLC همخوانی خوبی داشت. داده‌های به دست آمده نشان دادند که این دو روش از نظر نتایج درمانی برای بیشتر اندام‌های در معرض خطر، به جز معده، مشابه هستند. به علت قرار گیری معده در سمت چپ شکم فوکانی، احتمالاً این ارگان تحت تأثیر تطابق نداشتن مرز زیرمیدان چپ قرار گرفته است؛ بنابراین، یکی از مسائل مهم در اجرای این طرح، یکنواختی دوز در مرز میدان‌های ترکیبی است که با طراحی دقیق درمان

قابل دستیابی خواهد بود. مقایسه منحنی‌های DVH میان دو روش اهمیت تطابق مرز میدان‌ها را از طریق V20 (حجمی که ۲۰ گری و کمتر دریافت کرده است) و V10 (حجمی که ۱۰ گری و کمتر دریافت کرده است) مربوط به GTV، نخاع و کبد نشان داد. زیرمیدان‌ها باید به گونه‌ای طراحی شوند که از نقاط داغ و سرد در مرز میدان‌ها جلوگیری گردد.

برای تحویل  $cGy300$  در هر جلسه درمانی در حالت استفاده از MLC، MUها  $3/86$  در صد بیشتر از روش بلوک بودند. نتایج دزیمتري فیلم برای میدان AP نشان داد که اجرای این روش امکان‌پذیر است؛ اما برای دستیابی به نقشه دوز مشابه‌تر، نیاز به استفاده از میدان‌های AP/PA با وزن نابرابر و تطابق دقیق میدان‌ها وجود دارد. این نتایج نشان داد که استفاده از MLC برای درمان بیمارانی که به بلوک‌های ایزوله نیاز دارند، قابل قبول است. با این حال، تطابق زیرمیدان‌ها مستلزم مهمی برای دستیابی به یکنواختی دوز و جلوگیری از ایجاد نقاط داغ محسوب می‌شود.

با توجه به فرایندهای زمان بر درمان با بلوک سفارشی، نظیر زمان ساخت و همچنین قرار دادن روی سینی در حین درمان، استفاده از MLC به عنوان یک محافظ برای اندام‌های ایزوله، بهویژه در پرتودرمانی کامل حفره‌های شکمی به روش درمانی AP/PA، قابل اجرا است. در پرتودهی با میدان‌های AP/PA، تنظیم چندین زیرمیدان ساده است؛ اما در مقایسه با بلوک سفارشی، نیاز به دقت بیشتری دارد.

### سپاس‌گزاری

نویسنده‌گان از همه شرکت‌کنندگان و افرادی که در این پژوهه همکاری نمودند، تشکر و قدردانی می‌کنند..

### تعارض منافع

نویسنده‌گان هیچ تعارض منافعی ندارند.

### کد اخلاق

با توجه به اینکه این تحقیق روی موجود زنده نبود، نیاز به اخذ کد اخلاق نداشت.

### حمایت مالی

این تحقیق هیچ کمک مالی خاصی از سازمان‌های تأمین مالی در بخش‌های عمومی، تجاری یا غیر انتفاعی در

یافت نکرده است.

### **مشارکت نویسنده‌گان**

مفهوم‌سازی، تحقیق و بررسی منابع: طاهره حدیثی نیا،

غزل مهرایی کاکاوند، و وریا پروایی

روش‌شناسی، نظرارت و مدیریت پژوهه: طاهره

حدیثی نیا

اعتبارسنجی و پیش‌نویس اولیه: غزل مهرایی

کاکاوند

تحلیل و تنظیم داده‌ها و کد نویسی: وریا پروایی،

طاهره حدیثی نیا

نگارش - بازبینی و ویرایش: وریا پروایی

تصویری‌سازی: وریا پروایی و غزل مهرایی کاکاوند.

## References

- Dang YZ, Li X, Ma YX, Li XL, Yang T, Lu WL, et al. 18F FDG PET/CTguided intensity modulated radiotherapy for 42 FIGO III/IV ovarian cancer: A retrospective study. *Oncol Lett.* 2019;17:149-58. doi: 10.3892/ol.2018.9601.
- Brady LW, Wazer DE, Perez CA. Perez & Brady's principles and practice of radiation oncology: Lippincott Williams & Wilkins; 2013.
- Fields EC, McGuire WP, Lin L, Temkin SM. Radiation treatment in women with ovarian cancer: past, present, and future. *Front Oncol.* 2017;7:177. doi: 10.3389/fonc.2017.00177.
- Siegel RL, Miller KD, Jemal A. Cancer statistics, 2019. *CA Cancer J Clin.* 2019;69:7-34. doi: 10.3322/caac.21551.
- Bentzen SM, Constine LS, Deasy JO. Quantitative analyses of normal tissue effects in the clinic (QUANTEC): an introduction to the scientific issues. *Int J Radiat Oncol Biol Phys.* 2010;76: S3-S9. doi: 10.1016/j.ijrobp.2009.09.040.
- Committee ART, Boyer A. Basic applications of multileaf collimators: American Association of Physicists in Medicine Alexandria, VA; 2001.
- Clarkson J. A note on depth doses in fields of irregular shape. *Brit J Radio.* 1941;14:265-8. doi: 10.1259/0007-1285-14-164-265.
- Tajiri M, Sunaoka M, Fukumura A, Endo M. A new radiation shielding block material for radiation therapy: A shielding block made from a new material. *Med Phys.* 2004;31:3022-3. doi: 10.1118/1.1809767.
- Boyer AL, Ochran TG, Nyerrick CE, Waldron TJ, Huntzinger CJ. Clinical dosimetry for implementation of a multileaf collimator. *Med Phys.* 1992;19:1255-61. doi: 10.1118/1.596757.
- LoSasso T, Chui CS, Ling CC. Physical and dosimetric aspects of a multileaf collimation system used in the dynamic mode for implementing intensity modulated radiotherapy. *Med Phys.* 1998;25:1919-27. doi: 10.1118/1.598381.
- Fernandez E, Shentall G, Mayles W, Dearnaley D. The acceptability of a multileaf collimator as a replacement for conventional blocks. *Radiother Oncol.* 1995;36:65-74. doi: 10.1016/0167-8140(95)01571-w.
- Antolak J. The Physics of Radiation Therapy. Wiley Online Library; 2015.
- Goyal S, Osusky K, Gabel M, Yue NJ, Narra V. A Novel Method of Island Blocking in Whole Abdominal Radiotherapy Using a Modified Electronic Tissue Compensation Technique. *Med Dosim.* 2010;35:220-5. doi: 10.1016/j.meddos.2009.06.003.
- Medicine AAoPi. Basic applications of multi-leaf collimators. AAPM Task Group. 2001;50.